

北海道大學 工學部 正義

○佐藤章雄

陸上自衛隊勝田施設学校

工修 石田昌寿

北海道大学工学部 正員 工博 尾崎 晃

Ⅰ. まえがき 港内波浪の一つの問題として、港口からの入射波が防波堤あるいは岸壁の直立部に斜めに衝突した場合、発生した反射波が壁面より離れた領域に進行してゆく過程をよく観察していくと、波の幾何光学的反射方向以外の方向にも反射波のエネルギーの一部が分散してゆく、すなはち原波の進行方向と逆の方向に向って進む波があると考へなければ説明できないような現象が見受けられる。この現象を解明するために我々は次のようないくつかの研究を行なった。いま図-1のように波の進行方向に平行に置かれている直立壁が途中からある角度 $\alpha$ をもつて屈曲している場合、最初の壁に沿って進んできて入射波が屈曲角 $\theta_0$ に到達し瞬間に波形変化を起し、さらに進行するにつれて屈曲した壁から反射される。この場合反射波の主たる波向は幾何光学の原則にしたがって入射角 $\theta_0$ と等しい反射角をもつて反射される。しかもそれと同時に屈曲角を中心として円弧状の波が幾何光学的反射領域外( $0 \leq \theta \leq \alpha$ )にも進行するものと仮定し、その同心円形の波は屈曲角を波源とする半無限延長の半島堤端からの回折波で置き換えられるものと仮定した。

## II. 実験内容 入射波の波峯線のうちある一

本が丁度半軸と重なった時入射波と反射波とで構成されると波峯線図は図-1のようになり、この状態を左二〇とする。波形には微小振巾波の浅水波の式を使うと、入射波形は、

$$y_i = \frac{H_0}{2} \cos\left(\frac{2\pi}{\lambda}x + \frac{2\pi r}{\lambda} \cos\theta\right) \quad (H_0: \text{入射波高}) \quad \dots \quad (1)$$

0至95%の領域に発生する同心円形波の波形を

$$Y_r = \frac{H_r}{2} \cos\left(\frac{2\pi}{T}t - \frac{2\pi r}{L}\right) \quad (H_r: \text{同心円形波高}) \quad (2)$$

とする。面折係数を $\lambda$ とすれば、上記の仮定より

$H_p = K \cdot H_0$  となるから  $0 \leq \theta \leq \Theta$  領域に定め  
て波の形は (  $\lambda$  : 波長,  $T$  : 周期 )

$$\eta = \eta_i + \eta_r = \frac{H_0}{2} \cos\left(\frac{2\pi t}{T} + \frac{2\pi R}{L} \cos\theta\right) + \frac{H_r}{2} \cos\left(\frac{2\pi t}{T} - \frac{2\pi R}{L}\right) \quad (3)$$

$$= f \left\{ \frac{K_{10}}{z} \cos \left( \frac{2\pi R}{L} \cos \theta \right) + \frac{K_{110}}{z} \cos \frac{2\pi R}{L} \right\} \cos \frac{2\pi}{r} t$$

$$-\left\{ \frac{H_0}{2} \sin\left(\frac{2\pi r}{L} \cos\theta\right) - \frac{K' H_0}{2} \sin\frac{2\pi r}{L} \right\} \sin\frac{2\pi t}{T} \quad \dots \dots \dots (4)$$

又田舎の領域に発生する反射波の形態を図と反対の方向の波長には回転させたものとする。

この領域に生ずる合成波の形とは、

$$\eta = \frac{H_0}{2} \cos\left(\frac{2\pi}{T}t + \frac{2\pi}{\Delta} \cos\theta\right) + \frac{H_r}{2} \cos\left\{\frac{2\pi}{T}t - \frac{2\pi R}{\Delta} \cos(\theta - \Theta)\right\},$$

$$f(H_r) = e^{i(2\pi R/\Delta)} \cdot K' H_r \cos\left(2\pi R/\Delta + (\theta - \Theta)\right)$$

$$= \left[ \frac{H_0}{2} \sin\left(\frac{2\pi Y}{T} \cos\theta\right) - \frac{K' H_0}{2} \sin\left\{\frac{2\pi Y}{T} \cos(\theta - \Theta)\right\} \right] \sin \frac{2\pi}{T} t$$

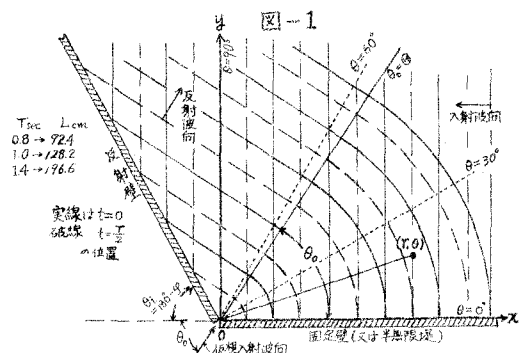
(4), (6) 式中の  $K'$  とすれば、Penny and Price の理論における半無限堤に  $\theta_0$  の入射角で波が進入しない場合の任意の角  $(\gamma, \theta)$  の回折係数とし、(7)～(9) 式で表わされよう。

$$K = |F(r, \theta)| = |f(\sigma) \cdot e^{-ikr\cos(\theta-\theta_0)} + f(\sigma') \cdot e^{ikr\cos(\theta+\theta_0)}|$$

$$f(\sigma) = \frac{1+i}{2} \int_{-\infty}^{\sigma} e^{-\pi i u^2/2} du \quad (B = 2\pi/1)$$

$$\sigma = 2\sqrt{Rr}/\pi \sin \frac{\chi}{2}(\theta - \theta_0) \quad , \quad \sigma' = -2\sqrt{Rr}/\pi \sin \frac{\chi}{2}(\theta + \theta_0) \quad (4)$$

又(14), (16) 式で表わされる部分重複波の腹の位置は  
 (15)式の第一項と一項以降に最大又は最小となる



3場合の条件として求めると、 $0 \leq \theta \leq \varphi$  では、(3)式より

$$T = \pi L / (1 + \cos \theta) \quad \dots \dots (10)$$

となる。したがって節の位置は、

$$Y = (n + \frac{1}{2})L / (1 + \cos \theta) \quad \dots \dots (11)$$

同様にして  $\theta \leq \theta \leq \varphi$  の範囲の膜と節の位置はそれぞれ、(5)式より、( $n = 0, 1, 2, \dots$ )

$$T = \pi L / \{(1 + \cos \theta) \cos \theta + \sin \theta \sin \theta\}, \quad Y = (n + \frac{1}{2})L / \{(1 + \cos \theta) \cos \theta + \sin \theta \sin \theta\} \quad \dots \dots (12)$$

となる。これらの膜と節の位置における波高を  $H_L, H_m$  とすれば、(4), (6)式より

$$H_L = H_0 + K H_0 = (1 + K') H_0 \quad \dots \dots (14)$$

$$\text{または} \quad H_m = H_0 - K' H_0 = (1 - K') H_0 \quad \dots \dots (15)$$

となる。実験方法については、縦 15m、横 20m、深さ 40cm の平面

水槽を使用した。測定範囲の底面は水平とし、水深は 24cm

で一定とした。又実験は周期  $T = 0.8, 1.0, 1.4 \text{ sec}$ 、入射波高  $H_0 = 1.5 \sim 4.0 \text{ cm}$ 、反射板角度  $\varphi = 150^\circ, 120^\circ$ 、測線  $\theta = 0^\circ$  (固定壁上)

$30^\circ, 60^\circ, 90^\circ$   $Y = 10, 20, 40 \text{ cm}$  間隔 (場所により異る) 等で測定した。

### III. 実験結果

$\varphi, \theta_0, \theta, \theta_0$  の間の関係は、 $\theta_0 = 180 - \varphi$ ,  $\theta = \varphi - \theta_0$

$$= 2\varphi - 180^\circ, \quad \theta = \theta_0$$

であるから、本実験の場合  $\theta$  を求め

この反射波向を仮想入射波向  $\theta_0$  と仮定する。(4)式により計算

した値と測定値とを比較した場合について、二、三の例を掲げると、図-2 のようになる。これらの図をみると

測定波高および  $\varphi$  の増加に伴う波高減衰の状態、あるいは

膜・節の位置は計算による曲線と良く合つていると言える。

又(14), (15)式の  $H_L, H_m$  の値として測定値を代入し、逆に  $K$

の値を求め、上記の回折理論の  $K$  の値と比較すると図-3～

図-4 の如くである。測定上  $H_L, H_m$  の値が正確に割られてい

ない場合があるのに、 $H_L, H_m$  の値としまづラフより推定

した値を多少使った。図-3, 図-4 の曲線と測定値による計

算値とは多少の差はあるが、傾向よりみて比較的合つてい

ると思われる。しかし  $\theta_0 = 60^\circ, \theta = 90^\circ$  の場合を除くわち、

$0 < \theta < \varphi$  の領域についてはまだ検討の必要があると思われる。

### IV. 結論

$0 \leq \theta \leq \varphi$  の領域に発生する波は部分重複波

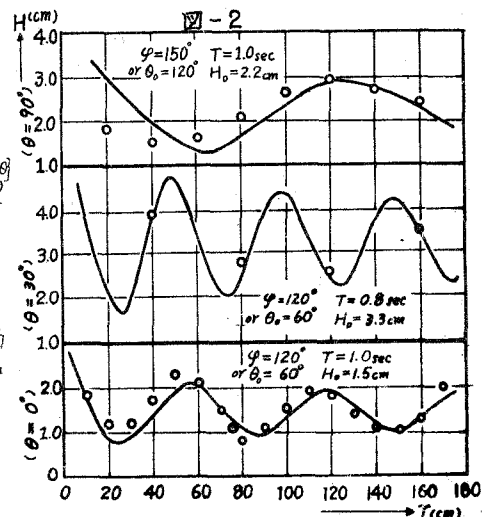
となるから、屈曲部から発生する波は同心円形波である

と考えられ、又この波には従来の回折理論がほぼ適用され

てよいものと思われる。

1) Penny, W.G. and Price, A.T.: The diffraction theory of sea waves by breakwaters, and the shelter afforded by breakwaters.

2) Wiegel, R.L.: Diffraction of waves by semi-infinite breakwaters. Transaction, ASCE, Vol. 128



図中の実線は計算による波高(H)の分布。  
○印は波高の測定値。

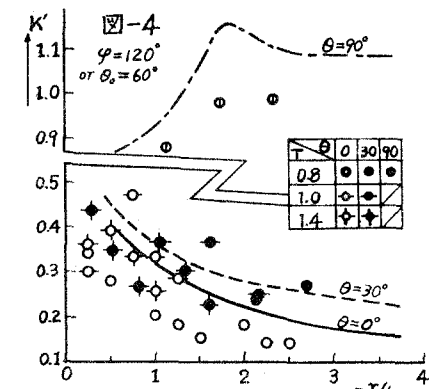
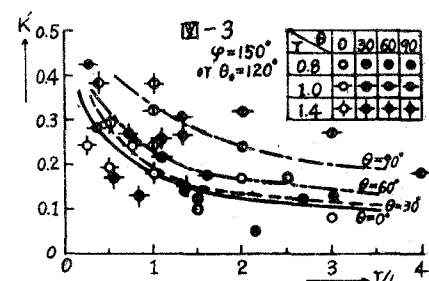


図-3, 図-4 の曲線は式(7)～(9)で表わされる  $K'$  の値。  
プロットした点は測定値より計算した値。

3) Putnam, J.A. and Arthur, R.S.: Diffraction of Water Waves by Breakwaters. Transactions, Amer. Geophysical Union, Vol. 29, NO. 4.